

1) まえがき 粒子を含む流れ、すなわち固液混相流の平均流速分布、摩擦損失係数、乱れ特性などの流れ特性が、水だけの流れのそれから変化することが知られている。前報<sup>1)</sup>で、カオリンやポリスチレンの微粒子を含む流れの乱れ特性は、水の流れに付いた次のように変化することを示した。(1)最大乱子の径(したがつてカルマン定数)、乱れの強さとも減少する。(2)この傾向は、粒子の比重が大きいほど、また粒子の体積濃度が大きいほど顕著である。粒子を含む流れを支配するパラメーターとして、上に掲げた比重、濃度のほかに、もう一つとして粒径がある。そこで、今回は粒径効果を顕著にするため、大粒径の粒子を用い流れの乱れ計測を行ない、前回同様に流れの乱れの強さ、最大乱子の径、エネルギースペクトル、エネルギー逸散率などの乱れの諸特性量を求め、流れにおける粒子の粒径効果について論ずるものである。

2) 実験 実験に用いた粒子は、ポリスチレン、および塩化ビニール製の中空球形粒子で、それを直徑 4.27, 1.77 cm であり、中空部を水で満たし、重りの調整を行なって中空遊動粒子として用いた。実験は、幅 39 cm、長さ 18 m の水路の下流端から 2 m の水路の中央に、水路底より 5 cm の位置にホットフィルムプローブを固定して行った。プローブ、およびプローブ支持橋は、粒子の衝突によるショックや損傷を防ぐために、プロテクターを用いて保護した。このプロテクターは、粒子の衝突によるショックがプローブに伝わらないよう、プローブ支持橋を支持する台と全く別の支持台で支持した。粒子は上流端より一定の割合で投入し、その投入時間を測り、これと粒子の全個数、および流量より粒子体積濃度を求めた。粒子投入時間は、約 3~10 分の短時間であるため、平均流速分布は測定出来なかった。平均流速は、ホットフィルムプローブから水半径 2 cm 離れた点でピト管を用いて測定した。表-1 に実験の種類とそれらの物理量を示す。ここで実験-1 はプロテクターを用いない実験である。実験-11.12 では、粒子の一部が転動して流れの状態が見られたが、これ以上に流速を上げるとショックが大きすぎ、計測結果に影響がでたので記載していない。

3) データ処理 データレコーダーに、直流分をカットして記録された乱れの計測結果は、相関器と FFT 変換器を用いて処理した。データのサンプリング間隔は、0.01 sec でデータ数は 8192 である。したがつて、必要なデータ記録時間は約 82 sec である。スペクトルは計算精度を上げるために、データに四段階のバントパスフィルターをかけ、サシツ(重なり合)た周波数領域でスペクトルを求め、これらを重ね合わせて求めた。求められた相関関数、スペクトルより次の式に乱れの強さ、最大乱子の径、エネルギー逸散率を求める。  
まず乱れの強さは、相関関数のずらし時間の点の値  $R(t)$  より求めた。最大乱子の径は、相関関数より相関関数  $R(t)$  を求め、中間乱子領域の存在を仮定して  $R(t) = 1 - (t/T_0)^{1/3}$  より  $T_0$  を求め、これに平均流速  $V$  をかけて求めた。ここで  $t$ ; ずらし時間,  $T_0$ ; 最大乱子の通過時間である。

表-1 実験の水理表				
実験	粒子	体積濃度 (%)	水深 (cm)	平均流速 (cm/sec)
1	清水		12.30	42.14
2	清水		12.30	42.14
3	塩化ビニル	0.47	12.36	42.34
4	塩化ビニル	0.50	12.36	42.35
5	清水		12.04	27.70
6	塩化ビニル	0.78	12.13	27.90
7	塩化ビニル	1.79	12.25	28.19
8	清水		9.29	37.67
9	塩化ビニル	0.73	9.34	37.14
10	清水		13.40	21.54
11	ポリスチレン	2.23	13.71	22.03
12	ポリスチレン	2.23	13.71	22.03

乱れのエネルギー $S(f)$ は、乱子通過周波数 $f$ で表わすと、中間乱子領域において  $S(f) = C (\bar{u}^* \cdot \epsilon / 2\pi)^{1/3}$ <sup>2)</sup>。  
 $f^{-5/3}$ となることは近代乱流理論より良く知られてる。ここで $\epsilon$ : エネルギー逸散率,  $C$ : 定数で普通は 0.5 とする。  
 今は、実験で求められた  $T(f)$  より上の式を用いて求めた。

4) 実験結果および考察 表-2に実験結果を、また図-1にエネルギー $S(f)$ の一例を示す。乱れの強さは、微粒子を含む流れの場合と反対に増加する。しかしこの乱れの強さは水の部分だけのものである。混相流の乱れの強さを  $\sqrt{\bar{u}^* \epsilon} / \bar{u} = [(1-C)\sqrt{\bar{u}^* \epsilon} + C \sqrt{\bar{u}_p^* \epsilon}] / \bar{u}$  で表わすと、ここでは  $\sqrt{\bar{u}_p^*} < \sqrt{\bar{u}^* \epsilon}$  であるので、混相流の乱れの強さは表-2の値より小さくなるが、上に述べた増加の傾向は変わらない。上の式で  $m, w, p$  はそれそれぞれ混相流、水、粒子を意味する。ここで乱れエネルギーの増加の原因の一つを考えられる粒子の流体に対する相対運動を、エネルギー $S(f)$  で立場から考察してみる。相対運動により、粒子の径より小さい乱子が発生し、それによってエネルギーが与えられるが、この相対運動は粒子より大きい乱子か、平均流により生じる。したがって粒子を含む流れのエネルギー $S(f)$  では、相対運動が大きな効果をもたらすと、そのそれは粒子  $f_3 = \bar{u}/d$  ( $d$ : 粒子径) より高い周波数では大きく、低い周波数では小さくなると考えられる。Bouvard<sup>2)</sup>は、粒径 5mm のナロン粒子を含む流体の水槽内における乱れの実験で上の事を確認している。図-1のエネルギー $S(f)$  では、 $f_3 = 15$  であり、これより高い周波数では上に述べた通りであるが、低い周波数領域では逆である。これは、大粒径の粒子を含む流れの乱れエネルギーを増加させる、粒子の水に対する相対運動のほかにもう一つ重要な原因があることを示している。最大粒子の径は、微粒子の場合と同様に減少する。これは、流速分布より直接求められなかつたが、カルマン定数の減少を意味する。エネルギー逸散率は、大粒径粒子を含むと増加する。

1) 余地高所「国際混相流討論会」(1974年年譜)には混相流特性に関する「実験結果」(1975年)。高木・寺澤編著。  
 2) M.Bouvard, he. 'Modification des caractéristiques d'une turbulence sous l'influence de particules solides en suspension' LA HOUILLE BLANCHE NOV. 1972

表-2 結果				
実験	測定点 相対水深	$\sqrt{\bar{u}^* \epsilon} / \bar{u}$ (%)	$L/h$	$\epsilon$ ( $\text{cm}^2/\text{sec}^3$ )
1	0.407	7.88	1.00	1.019
2	0.407	7.82	1.05	0.828
3	0.405	8.73	0.84	2.883
4	0.405	8.42	0.79	2.373
5	0.415	9.08	1.22	0.507
6	0.42	11.17	1.01	0.492
7	0.408	9.77	0.79	0.702
8	0.538	8.29	1.78	0.711
9	0.535	10.65	1.20	0.922
10	0.373	7.26	0.90	0.105
11	0.365	9.77	0.71	0.195
12	0.365	9.02	0.72	0.355

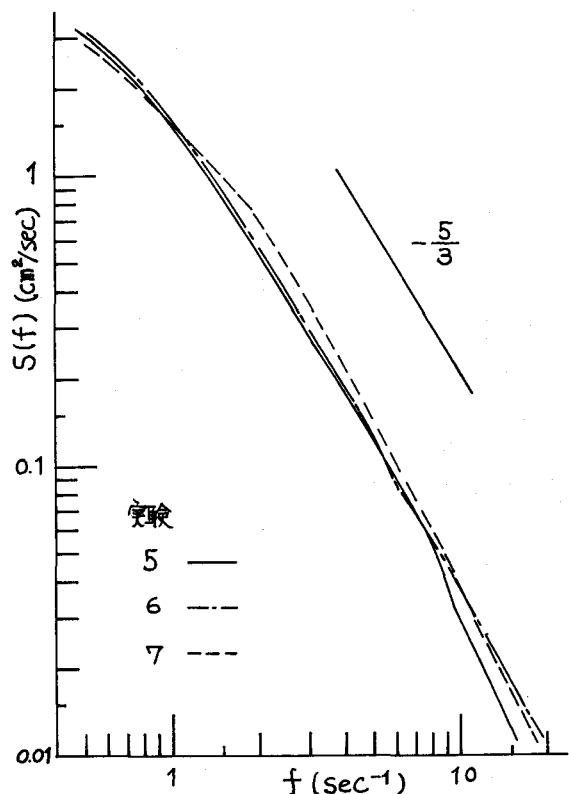


図-1